УДК 519.6; 514.174.6

МАРКОВСКИЕ ПРОЦЕССЫ В ДИНАМИКЕ ПРИМИТИВНЫХ ТРИАНГУЛЯЦИЙ В ПРОСТРАНСТВАХ ${f R}^3$ И ${f R}^4$

Γ . Γ . Рябов¹

Решеточные модели и симплициальные комплексы продолжают играть важную роль в теоретической физике, и интерес к ним возрос особенно в последние годы в связи с методами динамической триангуляции в построении квантовой модели гравитации. Кусочно-линейные (PL — Piecewise Linear) комплексы и бизвездные (bistellar) преобразования с появлением нового поколения суперкомпьютеров стали предметом и инструментом вычислительных методов в комбинаторной геометрии и топологии. В предлагаемой статье рассматриваются случайные "перестройки" (flips) примитивной триангуляции в пространстве ${\bf R}^3$ (с вершинами, принадлежащими целочисленному множеству ${\bf Z}^3$) как марковские цепи и исследуются их свойства периодичности, разложимости и эргодичности, тем самым устанавливается асимптотическое поведение триангулированного пространства в целом. Предложены близкие методы для примитивных триангуляций в пространстве ${\bf R}^4$.

Ключевые слова: примитивная триангуляция, диофантовы уравнения, марковские цепи, кодирование триангулированных разверток, спектр вершинных полиэдров, статистика Бозе-Эйнштейна.

В последние годы методы динамической и примитивной триангуляции получили широкое распространение как эффективные инструментальные средства для решения задач комбинаторной геометрии и топологии [1–8]. Узловым моментом для компьютерной реализации примитивных триангуляций является корректное (в смысле аксиоматики Колмогорова) вычисление переходных вероятностей в марковской цепи, для чего строится полное множество элементарных событий и борелевских подмножеств на нем с помощью кодирования триангулированных разверток кубов \mathbf{I}^3 и \mathbf{I}^4 , которое, по существу, является изоморфным отображением. В этом отношении настоящая статья продолжает исследования, результаты которых представлены в [7–10].

1. Случай пространства ${\bf R}^3$. Рассматривается триангуляция пространства ${\bf R}^3$ с вершинами в целых точках из ${\bf Z}^3$ и множеством V_1 ребер, коллинеарных примитивным векторам с максимальным модулем координат, равным 1. По сравнению с определенной в [1] примитивной триангуляцией для пространства ${\bf R}^n$ как триангуляцией, при которой все симплексы имеют объем 1/n!, рассматриваемый случай расширен, в частности, для ${\bf R}^3$ включением разбиения единичного куба на четыре симплекса объемом 1/6 и один симплекс объемом 1/3.

Вначале на единичном кубе \mathbf{I}^3 рассмотрим процесс проведения диагоналей во всех его гранях. При проведении в каждой грани одной из двух возможных диагоналей каждая вершина куба \mathbf{I}^3 будет иметь от нуля до трех сходящихся к ней диагоналей. Будем называть это число диагональной степенью вершины (дсв) и обозначать через i. Пусть x_i — число вершин куба с диагональной степенью i. Тогда справедливы соотношения: $\sum x_i = 8$ и $\sum i x_i = 12$, где i = 0,1,2,3. Рассматривая эти соотношения как систему диофантовых уравнений, выпишем все их решения в виде дсв-векторов (x_0, x_1, x_2, x_3) :

$$(0,4,4,0), (0,6,0,2), (1,3,3,1), (2,0,6,0), (2,2,2,2), (2,3,0,3), (3,0,3,2), (3,1,1,3), (4,0,0,4).$$

Учитывая дополнительные ограничения (сумма диагональных степеней вершин, инцидентных одному ребру, больше или равна 2 и меньше или равна 4, а сумма диагональных степеней вершин, образующих каждую грань, равна 6), решения (2,3,0,3), (3,0,3,2) и (3,1,1,3) не соответствуют никаким способам проведения диагоналей в гранях и поэтому исключаются из дальнейшего рассмотрения. Естественно, что триангуляции куба, соответствующие различным дсв-векторам, не конгруэнтны.

Для дсв-векторов (0,6,0,2), (1,3,3,1), (2,0,6,0) и (2,2,2,2) триангуляции куба завершаются проведением наибольшей диагонали куба в плоскости, рассекающей куб на две треугольные призмы (рис. 1). Все эти триангуляции состоят из шести симплексов, каждый объемом 1/6.

¹ Научно-исследовательский вычислительный центр, Московский государственный университет им. М. В. Ломоносова, 119991, Ленинские горы, Москва; зав. лабораторией, e-mail: gen-ryabov@yandex.ru

[©] Научно-исследовательский вычислительный центр МГУ им. М.В. Ломоносова

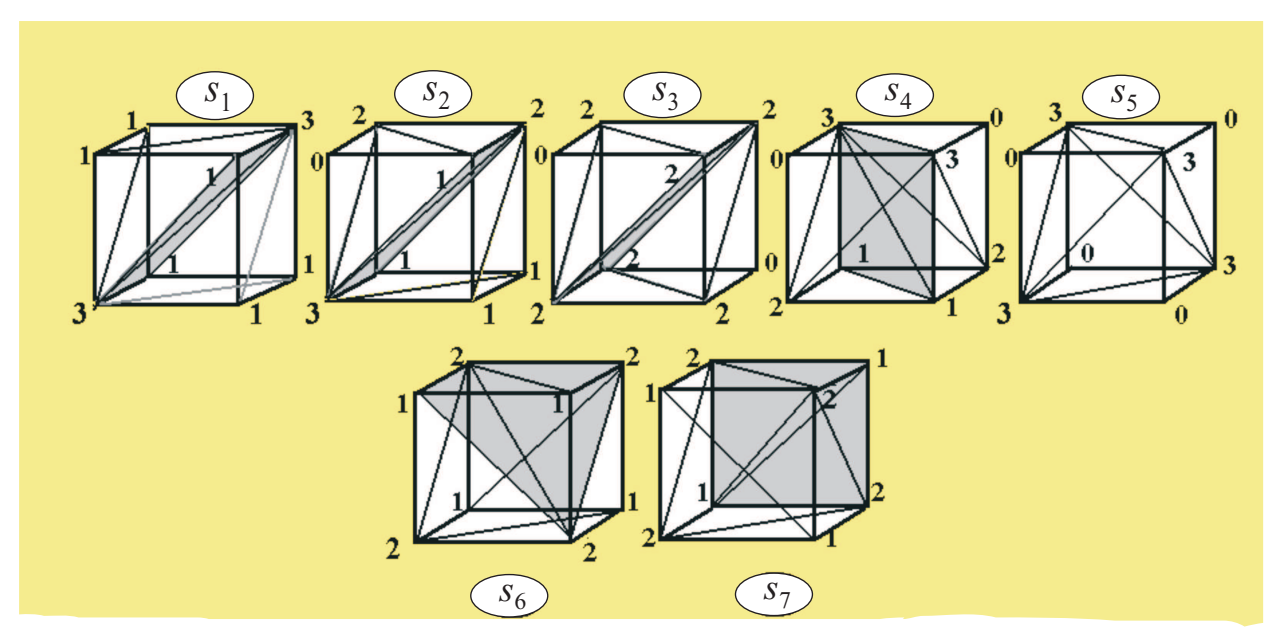


Рис. 1. Пять типов полной триангуляции и два типа неполной триангуляции куба ${f I}^3$. Рядом с вершинами указаны диагональные степени вершин

Для дсв-вектора (4,0,0,4) триангуляция разбивает куб на тетраэдр со стороной $\sqrt{2}$ и объемом 1/3 и четыре пирамиды, объем каждой из которых равен 1/6 (рис. 1).

Для дсв-вектора (0,4,4,0) не существует никаких "полных" триангуляций куба, т.е. представления куба как нормального симплициального комплекса. Возможны варианты частичной триангуляции, когда 1/3 объема куба есть симплициальный комплекс (из двух симплексов), а 2/3 объема — нет (рис. 1).

Поскольку в дальнейшем будут рассматриваться все возможные положения диагоналей в гранях, то и эти "неполные" триангуляции будут учитываться. Будем обозначать типы триангуляций, соответствующие дсв-векторам, через s_1 , s_2 , s_3 , s_4 , s_5 (полно триангулированы) и s_6 , s_7 (неполно триангулированы).

Для дальнейшего рассмотрения будем считать, что для каждого единичного куба в ${\bf R}^3$ задана одна и та же развертка, в которой задана единая нумерация граней $f1,\,f2,\,\ldots,\,f6$. В случае проведения какимто способом диагоналей в гранях куба условимся диагональ, идущую в одном направлении, обозначать через 0, а в другом — через 1. Тогда шестиразрядный двоичный код однозначно соответствует каждому из возможных способов проведения диагоналей в гранях. Значение (0 или 1) i-го разряда кода соответствует направлению диагонали в грани fi. Изменение направления диагонали в грани fi приводит к изменению значения в i-м разряде с 0 на 1 или наоборот с 1 на 0, что соответствует сложению 1 со значением разряда по модулю 2. Таким образом, число всех способов положений диагоналей в гранях равно $2^6=64$, каждый из которых соответствует одному из типов s_i . Ниже приведены данные по числу кодов, соответствующих s_i :

Выбор наудачу одного из этих 64 кодов можно интерпретировать как случайный выбор одного из единичных кубов случайно гранетриангулированного ${\bf R}^3$. Тогда вероятности того, что этот куб окажется полно триангулированным P(+) и неполно триангулированным P(-), определяются равенствами $P(+) = P(Us_i; i=1,\ldots,5) = 23/32$ и $P(-) = P(s_6,s_7) = 1 - P(+) = 9/32$.

Пусть задана некоторая триангуляция граней единичного куба как один из шестиразрядных двоичных кодов, соответствующий типу s_i , и пусть направление диагонали в одной из граней случайно меняется. Будем называть такое изменение единичной диагональной перестройкой. Тогда в принципе возможны два варианта: изменение типа s_i или сохранение прежнего типа. Для дальнейшего рассмотрения каждому типу s_i поставим в соответствие i-е состояние системы в дискретные моменты времени, связанные с диагональными перестройками и переводящими систему в одно из своих состояний $\{s_1, s_2, \ldots, s_7\}$. Таким образом, для полного и корректного задания цепи Маркова необходимо определить матрицу переходных вероятностей. Считая равновероятным изменение направления диагонали в любой грани, можно определить все множество элементарных исходов для каждого из типов s_i при изменении в каждой грани.

Для однозначности достаточно задать на некоторой зафиксированной развертке куба ${\bf I}^3$ номера граней, которые совпадают с номерами двоичных разрядов в шестиразрядном коде, и поставить в соответствие направлениям диагоналей 0 и 1. Каждому элементарному исходу при изменении положения диагонали в одной грани однозначно соответствует пара шестиразрядных двоичных кодов к1 и к2, где к1 — код исходного положения диагоналей, а к2 — код получившегося положения после перестройки (рис. 2а). Аналогично кодируется 3d-развертка для куба ${\bf I}^4$ (рис. 2б).

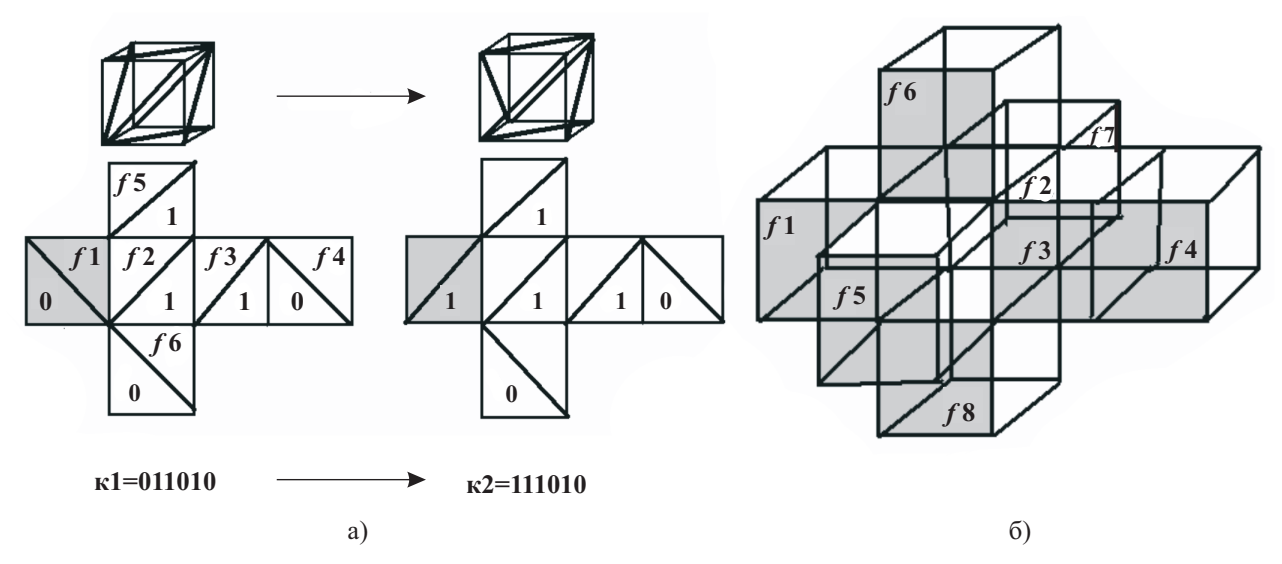


Рис. 2. Триангуляции куба I^3 , связанные с изменением диагонали в одной грани; соответствующие развертки для кодирования (грань изменения затемнена) и коды триангуляций; номера граней соответствуют номерам разрядов в кодах (а). Изображение 3d-развертки куба I^4 (б)

На множестве Ω всех элементарных исходов (пар кодов) определяются переходные вероятности p_{ij} марковской цепи, а затем изучаются свойства таких марковских цепей (возвратность, периодичность, разложимость и эргодичность) при различном числе одновременно изменяемых в один момент дискретного времени граней в \mathbf{I}^3 . Поэтому ниже рассматривается несколько вариантов и дается краткая характеристика процесса для каждого варианта.

$$A_0 = \begin{pmatrix} 0 & 1 & 0 & 0 & 0 & 0 & 0 & 0 \\ 1/6 & 0 & 1/6 & 1/3 & 0 & 1/3 & 0 \\ 0 & 1 & 0 & 0 & 0 & 0 & 0 & 0 \\ 0 & 2/3 & 0 & 0 & 1/6 & 0 & 1/6 \\ 0 & 0 & 0 & 1 & 0 & 0 & 0 & 0 \\ 0 & 2/3 & 0 & 0 & 0 & 0 & 0 & 1/3 \\ 0 & 0 & 0 & 1/3 & 0 & 2/3 & 0 \end{pmatrix};$$

Рис. 3. Схема системы

$$A_0^{2n} = \begin{pmatrix} 0 & 3/4 & 0 & 0 & 1/16 & 0 & 3/16 \\ 1/8 & 0 & 1/8 & 3/8 & 0 & 3/8 & 0 \\ 0 & 3/4 & 0 & 0 & 1/16 & 0 & 3/16 \\ 0 & 3/4 & 0 & 0 & 1/16 & 0 & 3/16 \\ 1/8 & 0 & 1/8 & 3/8 & 0 & 3/8 & 0 \\ 0 & 3/4 & 0 & 0 & 1/16 & 0 & 3/16 \\ 1/8 & 0 & 1/8 & 3/8 & 0 & 3/8 & 0 \\ 1/8 & 0 & 1/8 & 3/8 & 0 & 3/8 & 0 \\ 0 & 3/4 & 0 & 0 & 1/16 & 0 & 3/16 \\ 1/8 & 0 & 1/8 & 3/8 & 0 & 3/8 & 0 \\ 0 & 3/4 & 0 & 0 & 1/16 & 0 & 3/16 \\ 1/8 & 0 & 1/8 & 3/8 & 0 & 3/8 & 0 \\ 0 & 3/4 & 0 & 0 & 1/16 & 0 & 3/16 \\ 1/8 & 0 & 1/8 & 3/8 & 0 & 3/8 & 0 \\ 0 & 3/4 & 0 & 0 & 1/16 & 0 & 3/16 \end{pmatrix}.$$

1. Рассматриваются все семь состояний системы, в каждый дискретный момент времени случайно меняется диагональ в одной из граней. На рис. 3 показаны состояния системы и переходные вероятности между состояниями: A_0 — матрица переходных вероятностей за один шаг по времени, A_0^{2n} и A_0^{2n+1} —

соответственно матрицы для четных и нечетных моментов дискретного времени при больших n. Цепь возвратная, периодическая.

- 2. Во всех последующих вариантах рассматриваются пять состояний системы, соответствующие полным триангуляциям $(s_1, s_2, s_3, s_4, s_5)$. В каждый дискретный момент времени может случайно измениться диагональ в одной из граней с условием, что это не переводит куб в состояние неполной триангуляции (s_6, s_7) . Если возможное изменение именно такое, то в этот момент система остается в предыдущем состоянии (на диаграммах это графически изображено петлей). Ниже приведены результаты для случаев, когда в дискретный момент времени случайно меняются h граней куба $(h = 1, 2, \ldots, 6)$.
 - 2.1. $h=1,\ A_1$ и A_1^n матрицы переходных вероятностей (рис. 4). Цепь эргодическая.

$$A_1 = \begin{pmatrix} 0 & 1 & 0 & 0 & 0 \\ 1/6 & 1/3 & 1/6 & 1/3 & 0 \\ 0 & 1 & 0 & 0 & 0 \\ 0 & 2/3 & 0 & 1/6 & 1/6 \\ 0 & 0 & 0 & 1 & 0 \end{pmatrix}; \quad A_1^n = \begin{pmatrix} 0.0870 & 0.5217 & 0.0870 & 0.2609 & 0.0434 \\ 0.0870 & 0.5217 & 0.0870 & 0.2609 & 0.0434 \\ 0.0870 & 0.5217 & 0.0870 & 0.2609 & 0.0434 \\ 0.0870 & 0.5217 & 0.0870 & 0.2609 & 0.0434 \\ 0.0870 & 0.5217 & 0.0870 & 0.2609 & 0.0434 \end{pmatrix}.$$

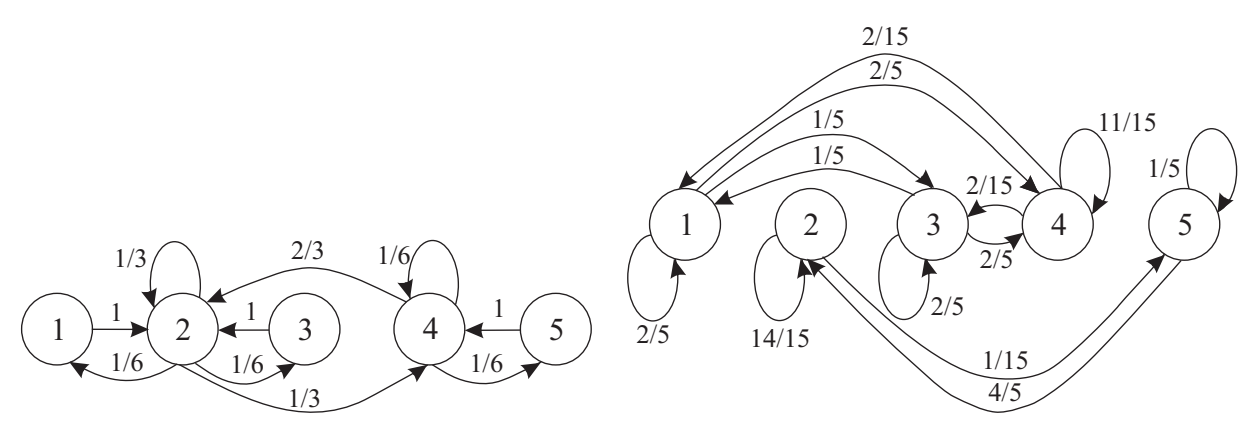


Рис. 4. Случайное изменение в одной грани (h=1)

Рис. 5. Случайное изменение в двух гранях (h=2)

2.2. h = 2, A_2 и A_2^n — матрицы переходных вероятностей (рис. 5). Цепь распалась на две цепи с состояниями (1,3,4) и (2,5), каждая из которых эргодическая.

$$A_2 = \begin{pmatrix} 2/5 & 0 & 1/5 & 2/5 & 0 \\ 0 & 14/15 & 0 & 0 & 1/15 \\ 1/5 & 0 & 2/5 & 2/5 & 0 \\ 2/15 & 0 & 2/15 & 11/15 & 0 \\ 0 & 4/5 & 0 & 0 & 1/5 \end{pmatrix}; \quad A_2^n = \begin{pmatrix} 0.2 & 0 & 0.2 & 0.6 & 0 \\ 0 & 0.9230 & 0 & 0 & 0.0770 \\ 0.2 & 0 & 0.2 & 0.6 & 0 \\ 0.2 & 0 & 0.2 & 0.6 & 0 \\ 0 & 0.9230 & 0 & 0 & 0.0770 \end{pmatrix}.$$

2.3. $h=3,\,A_3$ и A_3^n — матрицы переходных вероятностей (рис. 6). Цепь эргодическая.

$$A_{3} = \begin{pmatrix} 3/10 & 3/5 & 0 & 0 & 1/10 \\ 1/10 & 2/5 & 1/10 & 2/5 & 0 \\ 0 & 3/5 & 3/10 & 0 & 1/10 \\ 0 & 4/5 & 0 & 1/5 & 0 \\ 1/5 & 0 & 1/5 & 0 & 3/5 \end{pmatrix}; \quad A_{1}^{n} = A_{3}^{n} = A_{5}^{n}.$$

2.4. $h=4,\ A_4$ и A_4^n — матрицы переходных вероятностей (рис. 7). Цепь распалась на две цепи.

$$A_4 = \begin{pmatrix} 3/5 & 0 & 0 & 2/5 & 0\\ 0 & 14/15 & 0 & 0 & 1/15\\ 0 & 0 & 3/5 & 2/5 & 0\\ 2/15 & 0 & 2/15 & 11/15 & 0\\ 0 & 12/15 & 0 & 0 & 3/15 \end{pmatrix}; \quad A_4^n = A_2^n.$$

- 2.5. h=5. Цепь эргодическая, поскольку $A_1=A_5$ и поэтому $A_1^n=A_5^n$.
- $2.6.\ h=6$ (полная инверсия диагоналей в гранях), A_6 матрица переходных вероятностей. Диаграмма цепи приведена на рис. 8.

Обобщением приведенных результатов могут служить следующие утверждения.

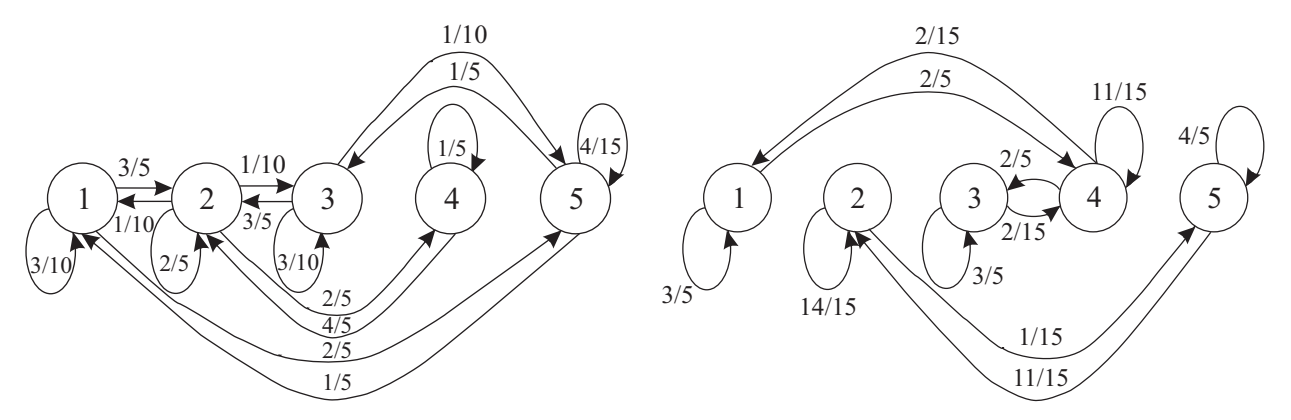


Рис. 6. Случайное изменение в трех гранях (h=3)

Рис. 7. Случайное изменение в четырех гранях (h=4)

- 1. Случайные перестройки диагоналей в гранях примитивной триангуляции в пространстве ${\bf R}^3$ индуцируют марковскую цепь с конечным числом состояний и дискретным временем.
- 2. При допущении всех типов триангуляции граней и при одиночной перестройке в каждый момент времени процесс является периодическим.
- 3. При допущении только тех типов триангуляции граней, которым соответствует полная триангуляция куба $(s_1, s_2, s_3, s_4, s_5)$, процесс для нечетного числа меняющихся граней в единицу дискретного времени является эргодическим с одинаковым стационарным распределением. Для четного числа меняющихся граней процесс распадается на подцепи с эргодическими свойствами.

В трехмерном случае методом двоичного кодирования двумерных граней можно перечислить все варианты вершинных полиэдров при примитивной триангуляции на множестве ребер V_1 , контролируя и от-

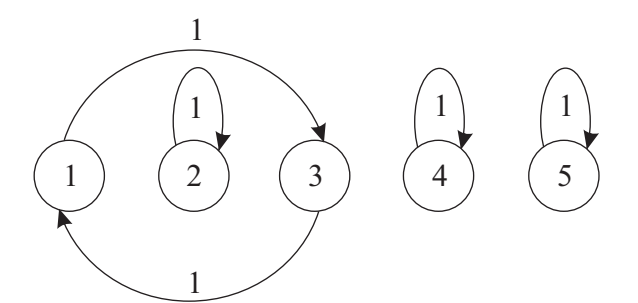
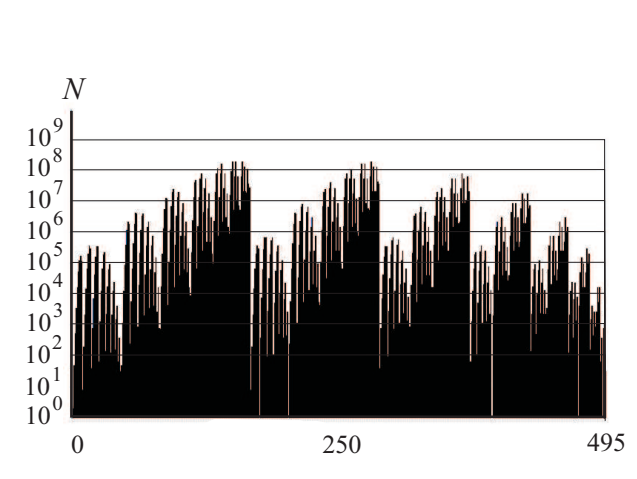


Рис. 8. Изменение диагоналей во всех шести гранях

$$A_6 = \left(\begin{array}{ccccc} 0 & 0 & 1 & 0 & 0 \\ 0 & 1 & 0 & 0 & 0 \\ 1 & 0 & 0 & 0 & 0 \\ 0 & 0 & 0 & 1 & 0 \\ 0 & 0 & 0 & 0 & 0 \end{array}\right).$$

брасывая при перечислении коды, не соответствующие полным нормальным триангуляциям. Поскольку рассматриваются восемь октантов (кубов) с общим числом граней 36, общее число всех вариантов расположения диагоналей в них равно 2^{36} . Расчеты на компьютере дали следующие результаты. Каждый допустимый код отображался в λ -вектор ($\lambda_1, \lambda_2, \ldots$), где λ_i соответствует i-му кубу и равен номеру типа триангуляции (s_1, s_2, \ldots, s_5). Пусть Λ — множество, которое содержит и векторы, соответствующие конгруэнтным триангуляциям. Определенную характеристику этого множества можно получить, проведя следующую группировку. Определим множество M μ -векторов ($\mu_1, \mu_2, \ldots, \mu_5$), где μ_k — число кубов с триангуляцией k-го типа и $\sum \mu_k = 8$. Тогда каждому λ -вектору соответствует некоторый μ -вектор, а каждому μ -вектору может соответствовать один или несколько λ -векторов, или вообще ни одного λ -вектора, при этом для $\mu_1 \neq \mu_2$ соответствующие им триангуляции заведомо не конгруэнтны.

Число μ -векторов в нашем случае равно числу размещения восьми частиц в пяти ящиках без ограничений (статистическая модель Бозе–Эйнштейна) и равно $\frac{(8+5-1)!}{8!4!}=495$. Если расположить все μ -векторы в лексикографическом порядке вдоль оси x, а по оси y откладывать число λ -векторов (логарифмическая шкала), соответствующих каждому μ -вектору, то получим результат, изображенный на рис. 9, который можно рассматривать как спектр частот неконгруэнтных вершинных полиэдров при примитивной триангуляции в \mathbf{R}^3 . Отметим, что для μ -векторов (1,0,1,0,6), (1,0,7,0,0), (3,0,5,0,0), (5,0,3,0,0) и (7,0,1,0,0) не существует ни одной полной триангуляции. Для μ -векторов (0,5,0,3,0), (0,5,1,2,0), (0,6,0,2,0) и (1,5,0,2,0) число различных полиэдров равно максимальному числу 188 116 992. Близкий к фрактально-периодическому характер спектра, с одной стороны, обусловлен порядком расположения μ -векторов, с другой стороны, коррелирует с числом типов s_2 и s_3 ("минимально симметричных" среди s_1, s_2, s_3, s_4 и s_5).



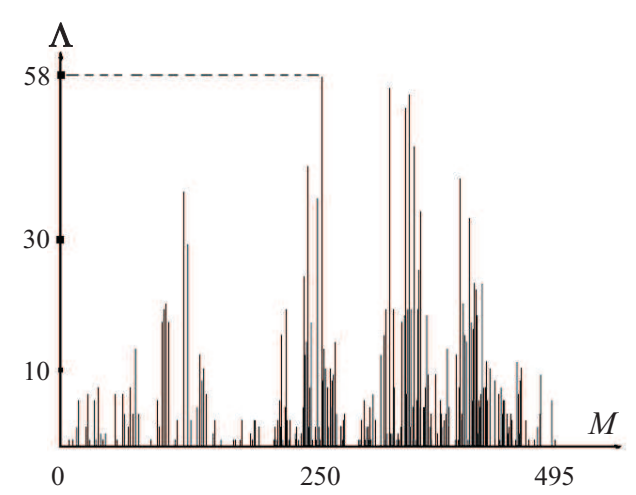


Рис. 9. Распределение вершинных полиэдров при примитивных триангуляциях в ${f R}^3$

Рис. 10. Распределение вершинных полиэдров при примитивных триангуляциях в ${f R}^4$

2. Случай \mathbf{R}^4 . Примитивная полная триангуляция единичного куба в \mathbf{R}^4 естественно определяет в каждой его трехмерной грани полную примитивную триангуляцию, которая может быть одной из пяти типов, определенных в предыдущем разделе. Следовательно, в случае перечисления всех неконгруэнтных типов полной примитивной триангуляции в \mathbf{R}^4 можно рассматривать все возможные восьмизначные (по числу трехмерных граней в кубе \mathbf{I}^4) пятеричные числа (по числу типов) с проверкой "совместимости" диагоналей в двумерных гранях, при этом требуется учесть все варианты ориентации трехмерных граней.

Однако воспользуемся более прозрачной схемой перечисления из предыдущего раздела, т.е. будем рассматривать все возможные положения диагоналей в двумерных гранях куба \mathbf{I}^4 . Тогда для некоторой общей для всех случаев развертки куба \mathbf{I}^4 перенумеруем все двумерные грани (их 24) и этот номер будет номером двоичного (по числу положений диагонали в двумерной грани) разряда в 24-разрядном числе. Таким образом, число всех возможных вариантов проведения диагоналей в двумерных гранях куба \mathbf{I}^4 равно 2^{24} . Для каждого такого кода надо проверить, полна ли триангуляция для всех трехмерных граней. Совпадение диагоналей в двумерных гранях, общих для трехмерных граней, реализуется автоматически, поскольку такая грань представлена одним разрядом.

Соответствующая программа была разработана, и были перечислены все типы полных примитивных триангуляций куба \mathbf{I}^4 в виде векторов $(\lambda_1, \lambda_2, \dots, \lambda_8)$, где λ_k равно i как номеру типа триангуляции данной (k-й) трехмерной грани $(i=1,\dots,5)$. Таких различных λ -векторов оказалось 2494 из общего числа $|\Omega|=2^{24}=16\,777\,216$. Обозначим это множество через Λ .

Как и в предыдущем разделе, отобразим множество Ω на множество M. Проведенные компьютерные расчеты дали следующие результаты.

Имеем $|\Lambda|=2494$ и |M|=495. Число различных μ , которым соответствует хотя бы одна примитивная триангуляция куба \mathbf{I}^4 , равно 295. Частоты наборов изменяются в диапазоне от 0 до 58. Спектр частот наборов при лексикографическом упорядочении векторов из M по оси x иллюстрируется на рис. 10. Дополнительно приведем распределение в этом множестве нормальных триангуляций \mathbf{I}^4 типов s_1,\ldots,s_5 для трехмерных граней: $s_1=444,\ s_2=621,\ s_3=352,\ s_4=749$ и $s_5=328$.

Для анализа свойств марковских процессов принципиально можно применить методы из предыдущего раздела, хотя это и связано с определенными техническими трудностями. Кратко охарактеризуем их.

- 1. Для вычисления переходных вероятностей в системе из 2494 состояний с изменением k диагоналей в 24 гранях потребуется порядка $2494 \times 2^{24} \approx 10^{11}$ операций.
- 2. Одноразовое перемножение матриц порядка 2494 потребует $10^{11} \div 10^{12}$ операций, а при исследовании эргодичности и многократном умножении примерно $10^{13} \div 10^{14}$ операций.

Таким образом, речь может идти о расчетах на суперкомпьютерах при высокой распараллеливаемости задачи, для которой здесь есть все основания.

3. Обсуждение результатов.

1. Методы отображения примитивных триангуляций в двоичные коды дают возможность в ряде случаев $({\bf R}^3,\,{\bf R}^4)$ перечислять на компьютере все элементарные исходы перестроек и вычислять точно элементы матриц переходных вероятностей, с помощью которых устанавливать основные свойства мар-

ковских процессов.

- 2. Примитивные триангуляции и их перестройки как марковские процессы могут быть моделью для динамики триангуляций более общего вида, в частности динамических триангуляций в квантовых моделях (3d+1)-размерной гравитации [2].
- 3. Анализ динамики примитивной триангуляции включен в инструментальную систему "топологический процессор" [7–11].
- 4. Результаты перечисления позволяют представить дуальную картину триангуляций в виде соответствующих вершинных многогранников. Пример такой дуализации для λ -вектора (0,0,0,0,8) представлен на рис. 11а.
- 5. Предложенное кодирование дает возможность представить реальные границы применения таких методов для современных суперкомпьютеров кластерного типа. Так, для перечисления всех возможных примитивных триангуляций в кубе \mathbf{I}^5 подобными методами потребуется рассмотреть 280 вариантов, поскольку для \mathbf{I}^5 число двумерных граней равно 80. Это число вариантов примерно равно 10^{24} , что превосходит возможности современных компьютерных систем. Однако если ограничить число рассматриваемых типов до двух из $\{s_1,\ldots,s_5\}$ типов трехмерной триангуляции, то для \mathbf{I}^5 число всех возможных типов можно оценить как 2^N , где $N=C_5^3\,2^2=40$, т.е. число рассматриваемых вариантов не более 10^{13} , что делает компьютерные расчеты реальными.
- 6. Расширение множества V_p ($p=1,2,3,\ldots$) при примитивных триангуляциях в ${\bf R}^3$ и ${\bf R}^4$ можно рассматривать как одновременные перестройки двух или более двумерных граней вместе с их смежными ребрами (в том числе и единичными). Так, на рис. 116 показано образование симплициального комплекса с примитивными ребрами из V_2 и V_3 , не затрагивающее общей триангуляции на V_1 вне параллелепипеда из $3\times 2\times 2$ кубов.

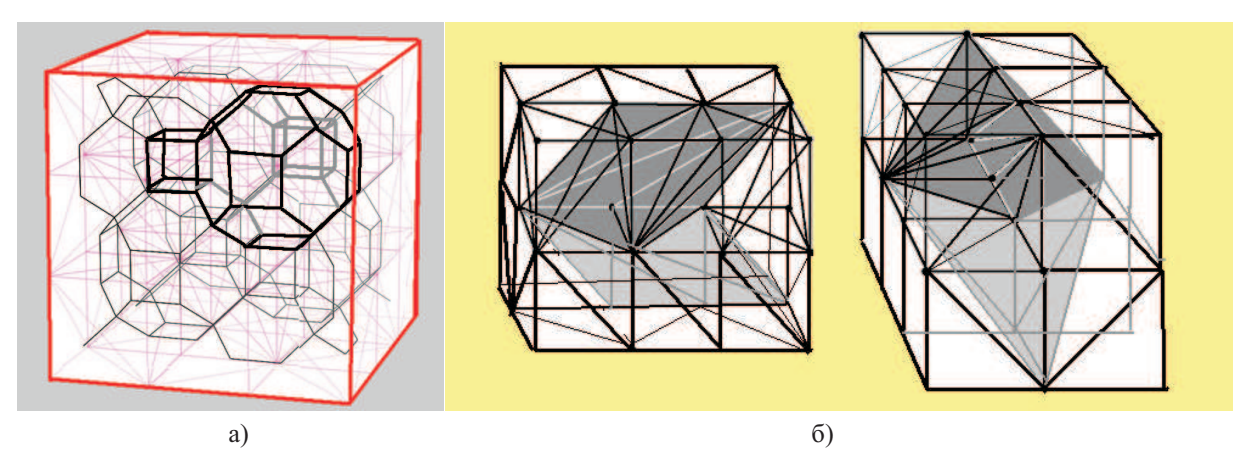


Рис. 11. Дуальные многогранники для $\lambda = (0,0,0,0,8)$ (a); локальная перестройка в примитивной триангуляции в \mathbf{R}^3 с включением ребер из V_2 и V_3 (б)

4. Заключение. Рассмотрение марковских процессов может служить инструментом оценки статистической картины поведения при случайных перестройках в гранях примитивно триангулированных пространств \mathbf{R}^3 , \mathbf{R}^4 , в том числе и метрики, соответствующей кратчайшим путям по ребрам таких случайных триангуляций. Так, применение методов двоичного кодирования к представлению кратчайших путей в случайном примитивно триангулированном пространстве \mathbf{R}^3 позволило на суперкомпьютере СКИФ – МГУ "Чебышев" (60 терафлопс) рассчитывать метрику Хаусдорфа между подмножествами на трехмерных решетках с числом вершин 10^{10} и числом ребер $10^{13} \div 10^{14}$ за десятки минут машинного времени (при параллельной работе 128 процессоров и 256 Гбайт оперативной памяти).

Автор приносит благодарность Л. Н. Королеву, А. В. Тихонравову и Б. Н. Четверушкину за внимание и обсуждение тематики работы.

СПИСОК ЛИТЕРАТУРЫ

- 1. Steingrimsson E. Permutations statistics of indexed and poset permutations. Cambridge: MIT-Press, 1992.
- 2. Negami S. Diagonal flips of triangulations on surfaces // Yokohama Math. J. 1999. 47. 1–40.
- 3. *Малышев В.А.* Вероятность вокруг квантовой гравитации: планарная гравитация // Успехи матем. наук. 1999. **54**, № 4. 3–46.

- 4. Collet P., Eckman J.-P. Dynamics of triangulations // J. of Statistical Physics. 2005. 121, N 5. 1073–1081.
- 5. Ambjorn J., Jurkevich J., Loll R. Reconstructing the Universe // Phys. Review D 72. 2005. Paper N 064014.
- 6. Бухштабер В.М., Панов Т.Е. Торические действия в топологии и комбинаторике. М.: Изд-во МЦНМО, 2004.
- 7. *Рябов Г.Г.* Алгоритмические основы топологического процессора // Тр. II Всероссийской научной конференции "Методы и средства обработки информации". М.: Изд-во Моск. ун-та, 2005. 53–58.
- 8. *Рябов Г.Г., Серов В.А.* Отображения целочисленных множеств и евклидовы приближения // Вычислительные методы и программирование. 2007. **8**, № 1. 14–23.
- 9. *Рябов Г.Г.* О путевом кодировании k-граней в n-кубе // Вычислительные методы и программирование. 2008. 9, № 1. 20–22.
- 10. Ryabov G., Serov V. Simplicial-lattice model and metric-topological constructions // Proc. of the IX Conf. on Pattern Recognition and Information Processing. Minsk, 2007. Vol. 2. 135–140.
- 11. *Рябов Г.Г., Серов В.А.* Компьютерные комбинаторно-топологические построения и их преобразования // Информационные технологии и вычислительные системы. 2008. № 2. 69–80.

Поступила в редакцию 23.11.2008